

УДК 53.1.074.3

## ЭКСТРАПОЛЯЦИЯ ЭКСПЕРИМЕНТАЛЬНЫХ ДАННЫХ УСКОРЕННОГО РАДИАЦИОННОГО СТАРЕНИЯ НА УСЛОВИЯ ЭКСПЛУАТАЦИИ ЭЛЕКТРОИЗОЛЯЦИИ ДИПОЛЬНОГО МАГНИТА ПРИ НИЗКИХ МОЩНОСТЯХ ДОЗ

Л. Н. Зайцев<sup>a</sup>, С. Л. Зайцев<sup>b</sup>, В. П. Зорин<sup>a</sup>, И. Е. Карпунина<sup>a</sup>,  
А. Д. Коваленко<sup>a</sup>, В. Н. Соловьев<sup>b</sup>, Е. П. Череватенко<sup>a</sup>

<sup>a</sup>Объединенный институт ядерных исследований, Дубна

<sup>b</sup>Институт теоретической и экспериментальной физики, Москва

<sup>b</sup>Московский государственный строительный университет

Измерены пределы прочности образцов из эпоксидной смолы, содержащей цемент, при одновременном воздействии температуры 328–378 К и мощности дозы  $\gamma$ -излучений 2,5 и 7,5 ГР · с<sup>-1</sup>. Впервые методом «температурно-дозовой суперпозиции» определены предельные дозы, соответствующие 25 %-му снижению предела прочности материала при мощности дозы  $2,35 \cdot 10^{-2}$  ГР · с<sup>-1</sup>. Расчетное значение предельной дозы  $2 \cdot 10^5$  Гр для образцов из эпоксидной смолы хорошо согла-суется с измеренным  $2,5 \cdot 10^5$  Гр. Для образцов из полимерцемента предельная доза, приведенная к температуре 293 К и мощности дозы облучения  $10^{-3}$  ГР · с<sup>-1</sup>, составляет  $8 \cdot 10^6$  Гр.

The strength limits of the samples of epoxy containing cement at a temperature of 328–378 K and a dose  $\gamma$ -radiation rate of  $2.5\text{--}7.5$  Gy · s<sup>-1</sup> have been measured simultaneously. The limiting doses corresponding to 25 % losses of the yield strength were first determined by means of extrapolation to 293 K and  $10^{-3}$  Gy · s<sup>-1</sup>. The limiting dose  $2 \cdot 10^5$  Gy for epoxy without cement measured empirically is in good agreement with value of  $2.5 \cdot 10^{-2}$  Gy · s<sup>-1</sup>. A limiting dose of  $\sim 10^7$  Gy for polymercement cannot be directly measured at 293 K and  $10^{-3}$  Gy · s<sup>-1</sup> because of very high time expenses for irradiation. In this case, the limiting dose can be determined only by the method of temperature-dose superposition.

### ВВЕДЕНИЕ

Исследование прочностных свойств изоляционных материалов, применяемых в технологии сверхпроводящих магнитов для сильноточных ускорителей релятивистских протонов и ядер, является актуальной задачей.

Большая часть магнитной структуры протонных синхротронов в процессе ускорения или циркуляции пучка воспринимает радиационную нагрузку порядка  $2 \cdot 10^{-5}$ – $5 \cdot 10^{-4}$  ГР · с<sup>-1</sup>. На единичные магниты систем инъекции или вывода пучка может приходиться значительно большая радиационная нагрузка  $1\text{--}10$  ГР · с<sup>-1</sup>, что требует применения неорганических материалов: керамики, окислов металлов, цементов и др. Но

таких магнитов мало, поэтому основное внимание уделяют диполям и линзам, так называемой «спокойной области», где удовлетворительными считаются обмотки с изоляцией из эпоксидной смолы [1].

В ускорителях тяжелых ядер ( $\text{Pb}$ ,  $\text{U}$ ) при прочих равных условиях радиационная нагрузка возрастает до  $5 \cdot 10^{-3} \text{ Гр} \cdot \text{с}^{-1}$  в «спокойной области» и до  $10^3 \text{ Гр} \cdot \text{с}^{-1}$  в «горячих» радиационных зонах из-за большой диссипации энергии потерянных ядер [2]. Например, для SIS100 на 1 ГэВ при  $10^{12} \text{ ядер} \text{ U} \cdot \text{с}^{-1}$  желательно иметь материал с более высокой радиационной стойкостью.

Проблему можно решить с помощью различных наполнителей. Их можно разделить на порошкообразные и волокнистые. Цемент (неорганическое вяжущее вещество) представляет собой уникальный наполнитель. Он обеспечивает долговечность и повышает радиационную стойкость композита. Полимерный компонент улучшает электрофизические свойства изоляции и создает необходимую пластичность. При этом полимер образует в затвердевшем материале самостоятельный структурный элемент и определяет кинетику радиационно-химических процессов при радиолизе. Результаты исследований механических и диэлектрических свойств различных полимерцементов в широком диапазоне соотношений эпоксидных смол и цементов приведены в [3]. Однако исследования радиационной стойкости при малых мощностях доз ( $\sim 10^{-3} \text{ Гр} \cdot \text{с}^{-1}$ ) не проводились.

В данной работе представлены результаты измерений предела прочности после облучения образцов эпоксидной смолы и полимерцемента. Методом «температурно-дозовой суперпозиции» определены предельные дозы облучения для этих материалов.

## 1. МЕТОДИКА

Температурное влияние имеет фундаментальное значение в химическом воздействии ионизирующих излучений на полимеры. При более высоких температурах, чем температура эксплуатации  $T_0$ , происходит ускорение процесса деградации полимера без изменения механизма основных химических реакций. Для перенесения результатов измерений, полученных при повышенных температурах, на условии заданной температуры вычисляется так называемый коэффициент смещения, определяемый в соответствии с законом Аррениуса [4]:

$$k \sim \exp(-E/RT), \quad (1)$$

где  $k$  — скорость эффективной химической реакции;  $E$  — энергия активации термически активированного процесса старения материала;  $R$  — газовая постоянная;  $T$  — температура. Метод, лежащий в основе суперпозиции «время–температура–мощность дозы» [5], заключается в том, что отношение времен при двух различных температурах является точкой инверсии отношений мощностей доз, относящихся к этим же двум температурам. Это очевидно, поскольку при заданной дозе время обратно пропорционально мощности дозы. Значит можно проводить изодозовую экстраполяцию к большим временам, что эквивалентно условиям облучения при более низких мощностях доз. Этот полуэмпирический метод был проверен на изоляционных полимерных материалах. Получено удовлетворительное согласие между прогнозируемым ресурсом 14 лет и реальным временем 12 лет пребывания изоляции в реакторе АЭС при  $2,8 \cdot 10^{-3} \text{ Гр} \cdot \text{с}^{-1}$  [6].

## 2. ОБРАЗЦЫ И ЭКСПЕРИМЕНТАЛЬНАЯ ТЕХНИКА

Из эпоксидной смолы ЭД-22 (40 вес. %) и цемента (100 вес. %) изготавливались образцы размерами  $40 \times 15$  мм и толщиной 4 мм. Технология изготовления полимерцемента подробно описана в [3]. Кроме того, по стандартной технологии были изготовлены несколько образцов из ЭД-22 без добавления цемента и из чистого цемента.

Образцы формировались в пакеты по 3 шт., как показано на рис. 1, и для каждого был один контрольный образец. Всего было сформировано 13 пакетов (соответствует числу экспериментальных точек на рис. 2). Из них 8 пакетов облучались при нормальной температуре (293 К), 5 пакетов при повышенных температурах от 328 до 378 К.

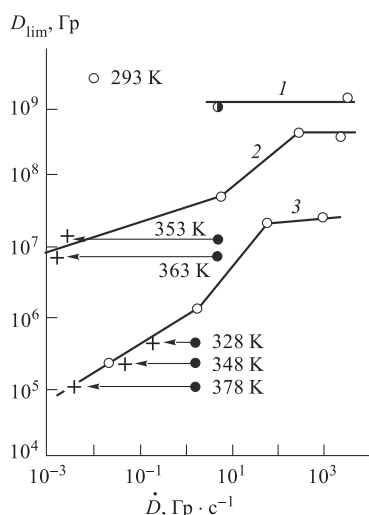


Рис. 2. Зависимость предельной дозы, соответствующей 25 % снижению предела прочности на растяжение от мощности поглощенной дозы (нагрузки): 1 — цемент; 2 — полимерцемент; 3 — эпоксидная смола; ○, ● — наши экспериментальные результаты; ○ — квадруполь с цементной изоляцией DESY (см в [1]); + — данные полученные методом суперпозиции

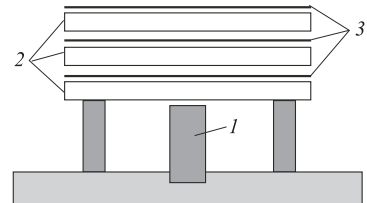


Рис. 1. Геометрия облучения пакета образцов: 1 — источник  $^{137}\text{Cs}$ ; 2 — образцы из эпоксидной смолы; 3 — цветовые пленочные дозиметры (ЦДП)

В каждом пакете помещались цветовые пленочные дозиметры (ЦДП) толщиной от 75 до 150 мкм. Аналог, распространенный за рубежом, — FWT = 70 [7]. Все дозиметры были градуированы в полях  $\gamma$ -излучения в том числе и при повышенных температурах от 50 до 100 °C: ЦДП-4-1 измеряют поглощенную дозу от  $10^2$  до  $2 \cdot 10^5$  Гр. ЦДП-Ф-2 измеряют дозу от  $10^5$  до  $10^8$  Гр. Доза определялась по плотности почернения (изменения цвета) с помощью спектрофотометра СФ-26. Дополнительно экспозиционная доза контролировалась другими дозиметрами.

Облучение выполнялось на источниках, обеспечивающих необходимую радиационную нагрузку. Первая группа образцов облучалась  $\gamma$ -излучением с нагрузкой  $5 \cdot 10^{-3} - 3 \cdot 10^{-2}$  Гр · с<sup>-1</sup>. В качестве источника использовался изотоп  $^{137}\text{Cs}$  активностью 4,1 Ки. Геометрия облучения показана на рис. 1. Контроль экспозиционной дозы в трех точках по оси симметрии источника производился воздухоэквивалентной ионизационной камерой VAK-251 с чувствительным объемом 50 мм<sup>3</sup>. Погрешность измерения  $\pm 10\%$ . Мощность усредненной поглощенной дозы вычислялась умножением на коэффициент 0,95 для тканеэквивалентного фантома. Для ЭД-22 коэффициент не известен. Получено согласие с величинами поглощенных доз, измеренными ЦДП в пределах погрешности  $\pm 20\%$ . Время облучения пакета 2322 ч при мощности дозы  $2,35 \cdot 10^{-2}$  Гр · с<sup>-1</sup> ( $86,4$  Гр · ч<sup>-1</sup>).

В диапазоне нагрузок от  $10^0$  до  $10^1$  Гр · с<sup>-1</sup> для облучения использовалась изотопная ( $^{60}\text{Co}$ ) радиационно-химическая установка типа «К»,

разработанная в НИФХИ им. Л. Я. Карпова, активностью  $1,3 \cdot 10^3$  Ки. Радиационные нагрузки на образцы измеряли стандартными глюкозными дозиметрами ДОГ-25/200. Из семи пакетов образцов два облучались на воздухе при температуре  $\sim 293$  К. Другие пакеты поочередно облучались при температурах 328, 348, 378 К (ЭД-22) и 353, 363 К (ПЦ). Пакет образцов помещался в нагревательный шкаф «MINI OVEN-988» (Франция), который имел регулятор установки температуры от 50 до 100 °C, автоматический температурный контроль (термостат) и световой индикатор. Облучение производилось через переднее термостекло толщиной 1,5 мм. Ресурс нагревательных тэнов на менее 1000 ч непрерывной работы. Измерение температуры производили платиновыми термометрами. Погрешность в величине температуры  $\pm 1,5$  °C.

Для получения больших радиационных нагрузок  $10^2$ – $10^4$  Гр·с<sup>-1</sup> использовался ЛУЭ на энергию 1,2 ГэВ при флюенсе  $10^{11}$  электрон·см<sup>-2</sup>·с<sup>-1</sup>. В пучке электронов были облучены 2 пакета ПЦ и один пакет цементного камня. Все сеансы облучения проводились в вакуумопроводе при начальной температуре  $\sim 293$  К. Радиационный разогрев составлял 15 К. Для определения поглощенной дозы, обусловленной  $\gamma$ -составляющей, использовались термолюминесцентные дозиметры ТЛД-700.

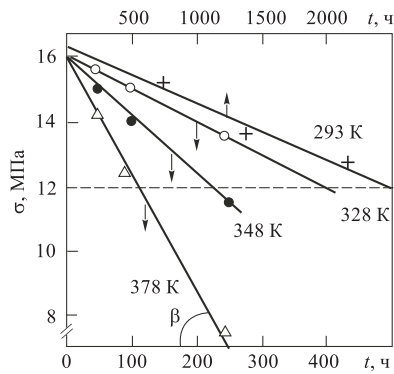
Испытания контрольных образцов и образцов после облучения проводились в соответствии с ГОСТ 14236-81 при температуре 293 К. Для определения предела прочности на растяжение  $\sigma$  использовалась разрывная машина «INSTRON» (Япония). Погрешность определения  $\sigma \pm 5\%$ .

### 3. РЕЗУЛЬТАТЫ ЭКСПЕРИМЕНТОВ

На рис. 2 показаны результаты облучения всех 13 пакетов образцов. Как и следовало ожидать, наблюдается сильная зависимость предельной дозы  $D_{lim}$  от мощности дозы (нагрузки)  $\dot{D}$ . Объясняется это радиационно-химическим окислением полимерных компонентов, которое подробно обсуждено в [8]. Предельная доза в данном случае соответствует 25 %-му снижению предела прочности на растяжение вследствие воздействия на материалы радиационно-химических процессов при радиолизе. Как было сказано выше, увеличение температуры облучения усиливает эти процессы и при одинаковой нагрузке величина  $D_{lim}$  снижается.

На рис. 3 показано изменение  $\sigma$  в зависимости от времени облучения для образцов ЭД-22. По тангенсу угла ( $\beta$ ) наклона прямых в соответствии с законом Аррениуса определялись коэффициенты смещения и расчетные точки для  $\sigma(\dot{D})$ . Для чистого полимера ЭД-22  $D_{lim} = 2 \cdot 10^{-5}$  Гр, определенная эмпирически, хорошо согласуется с экспериментальной величиной  $D_{lim} = 2,5 \cdot 10^5$  Гр, измеренной непосредственно на источнике  $^{137}\text{Cs}$  при  $\dot{D} = 2,35 \cdot 10^{-2}$  Гр·с<sup>-1</sup>. Это означает, что закон

Рис. 3. Изменение предела прочности на растяжение при облучении образцов ЭД-22:  $\circ$ ,  $\bullet$ ,  $\Delta$  — мощность дозы  $2,5$  Гр·с<sup>-1</sup>;  $+$  — мощность дозы  $2,35 \cdot 10^{-2}$  Гр·с<sup>-1</sup>



Аррениуса работает для данного полимера и можно говорить о применимости метода «температурно-дозовой суперпозиции».

#### 4. ЭКСТРАПОЛЯЦИЯ

На рис. 4 показаны экспериментальные результаты для полимерцемента при  $\dot{D} = 7,5 \text{ Гр} \cdot \text{с}^{-1}$  и двух температурах: 353, 363 К. Начальная величина  $\sigma_0 \cong (20 \pm 2) \text{ МПа}$ .

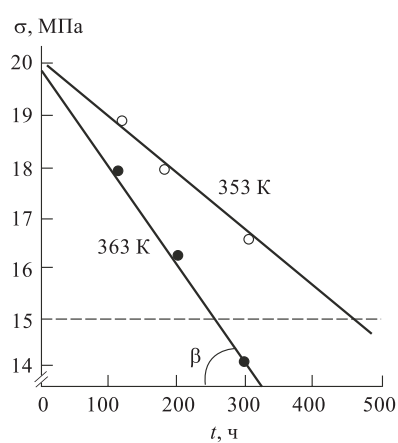


Рис. 4. Изменение предела прочности на растяжение при облучении образцов полимерцемента; мощность дозы  $7,5 \text{ Гр} \cdot \text{с}^{-1}$

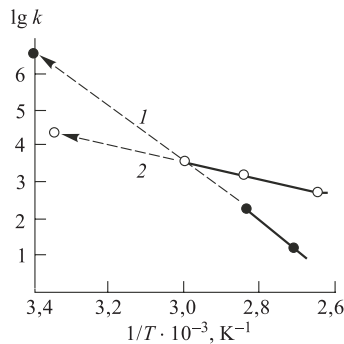


Рис. 5. Графоаналитическое определение констант скорости старения материалов при радиолизе: сплошные линии — по данным эксперимента; пунктирные линии — экстраполяция: 1 — полимерцемент; 2 — эпоксидная смола

Тангенс угла наклона полученных кривых представляет собой скорость радиационно-химических реакций. Из  $\operatorname{tg} \beta = k/2,3$  находили константы скорости в зависимости от температуры, которые приведены в таблице.

#### Параметры для полимерцемента

T, K	1/T · 10 <sup>-3</sup>	lg k	k(T)
293	3,4	6,2	$2,5 \cdot 10^{-6}$
353	2,8	2,4	$1,7 \cdot 10^{-2}$
363	2,7	1,2	$8,0 \cdot 10^{-3}$

В соответствии с уравнением Аррениуса строились зависимости  $\lg k = f(1/T)$  для ЭД-22 и ПЦ (рис. 5). Путем графической экстраполяции полученных прямых определялась скорость реакции старения при температуре эксплуатации 293 К ( $1/T = 3,4 \times 10^{-3} \text{ K}^{-1}$ ,  $k_{293} = 2,5 \cdot 10^{-6}$ ).

Допустимый срок эксплуатации (ресурс) можно вычислить по формуле

$$t_9 = \frac{2,3(\lg \operatorname{tg} \sigma_0 - \lg \operatorname{tg} \sigma_{\lim})}{k_{293}}, \quad (2)$$

где  $\sigma_0$  — предел прочности необлученного материала;  $\sigma_{\lim}$  — предельно допустимый предел прочности на растяжение ( $0,75\sigma_0$ ). Мощность дозы, соответствующая  $T_9 = 293$  К, определяется из формулы

$$\dot{D}_9 = [k_{293}/k(T_{\text{изм}})]\dot{D}(T_{\text{изм}}), \quad (3)$$

где  $\dot{D}(T_{\text{изм}})$  — мощность дозы, измеренная при данной температуре;  $k_{293}/k(T_{\text{изм}})$  — отношение констант скоростей при  $T_9$  и  $T_{\text{изм}}$  (по существу является коэффициентом смещения). По формуле (3) были вычислены величины:  $\dot{D}_1 = 2,3 \cdot 10^{-3}$  Гр·с<sup>-1</sup> и  $\dot{D}_2 = 1,1 \cdot 10^{-3}$  Гр·с<sup>-1</sup>, соответствующие сдвигу от температур 353 и 363 К к температуре 293 К, что позволило спрогнозировать  $D_{\lim} \approx 8 \cdot 10^6$  Гр при  $\dot{D} = 10^{-3}$  Гр·с<sup>-1</sup>. Теперь можно сравнить прогнозируемый ресурс для полимерцемента по дозовой зависимости (рис. 2) и по формуле (2). Из графика рис. 2:  $D_{\lim}/\dot{D} = 8 \cdot 10^6/10^{-3} = 8 \cdot 10^9$  с или  $5,7 \cdot 10^6$  ч. По формуле (2):  $2,3 \lg 2/2,5 \cdot 10^{-6} = 2,8 \cdot 10^5$  ч. Полученные данные не согласуются между собой, потому что, как следует из [5], коэффициенты смещения должны определяться через энергию активации, а не через константы скорости процесса. Однако вычислить энергию активации при радиолизе в твердом теле практически невозможно [9].

На точность метода суперпозиции влияют главным образом три фактора: неоднородность материала образцов, колебания температуры при облучении и точность мониторирования дозовой нагрузки. Так колебания температуры в  $\pm 2$  °С могут давать ошибку в определении константы  $k \pm 20$  %. Доза в материале определяется с погрешностью 20 %. Однородность состава образцов 15–20 %.

## ЗАКЛЮЧЕНИЕ

Экспериментально проверен и подтвержден способ определения радиационной стойкости изоляционных материалов в пределах малых мощностей доз на основе методики «температурно-дозовой суперпозиции».

Показано, что радиационный ресурс эпоксидной смолы может быть увеличен в десятки и более раз путем введения порошкообразных и волокнистых наполнителей.

Экспериментальные исследования других перспективных материалов и расчетные работы в данном направлении планируется продолжить.

Авторы выражают глубокую благодарность проф. Гюнэри Аковали (СВТУ, Турция) за ряд ценных методологических советов, Л. Б. Голованову за помощь в некоторых изменениях, А. И. Малахову, П. И. Зарубину и Ю. Е. Титаренко за поддержку данной работы.

## СПИСОК ЛИТЕРАТУРЫ

1. Зайцев Л. Н. Радиационные эффекты в структурах ускорителей. М.: Энергоатомиздат, 1987.
2. Kovalenko A. et al. Superconducting fast-cycling dipole magnets for the GSI future accelerator facility. Reporte EPAC'2002. Paris, 2002; <http://jacow.web.cern.ch/Jacow/>

3. Беренюк М.А. и др. Полимерцемент как изоляционный материал для обмоток магнитов. Препринт ИФВЭ 86-75. Серпухов, 1986.
4. Милинчук В.К. и др. Основы радиационной стойкости органических материалов. М.: Энергогатомиздат, 1994.
5. Gloush K. T., Gillen R. T. // Polymers Degradation Stability. 1989. V. 24, No. 2. P. 137.
6. Burhay S. G. // Proc. of Intern. Symp. Rad. Degrad. Polym. and Rad. Resist. Mater., Takasaki, Japan, 1989. P. 149–158.
7. Абросимов В.К. и др. // Докл. VIII Всесоюз. совещ. по дозиметрии интенсивных потоков ионизирующего излучения. Обнинск, 1987. С. 142.
8. Зайцев Л.Н. // ЭЧАЯ. 1999. Т. 30, вып. 5. С. 1292–1327.
9. Кириллова Э.И. Гарантийные сроки хранения некоторых полимеров // Пластические массы. 1973. № 3. С. 49–53.

Получено 16 января 2003 г.